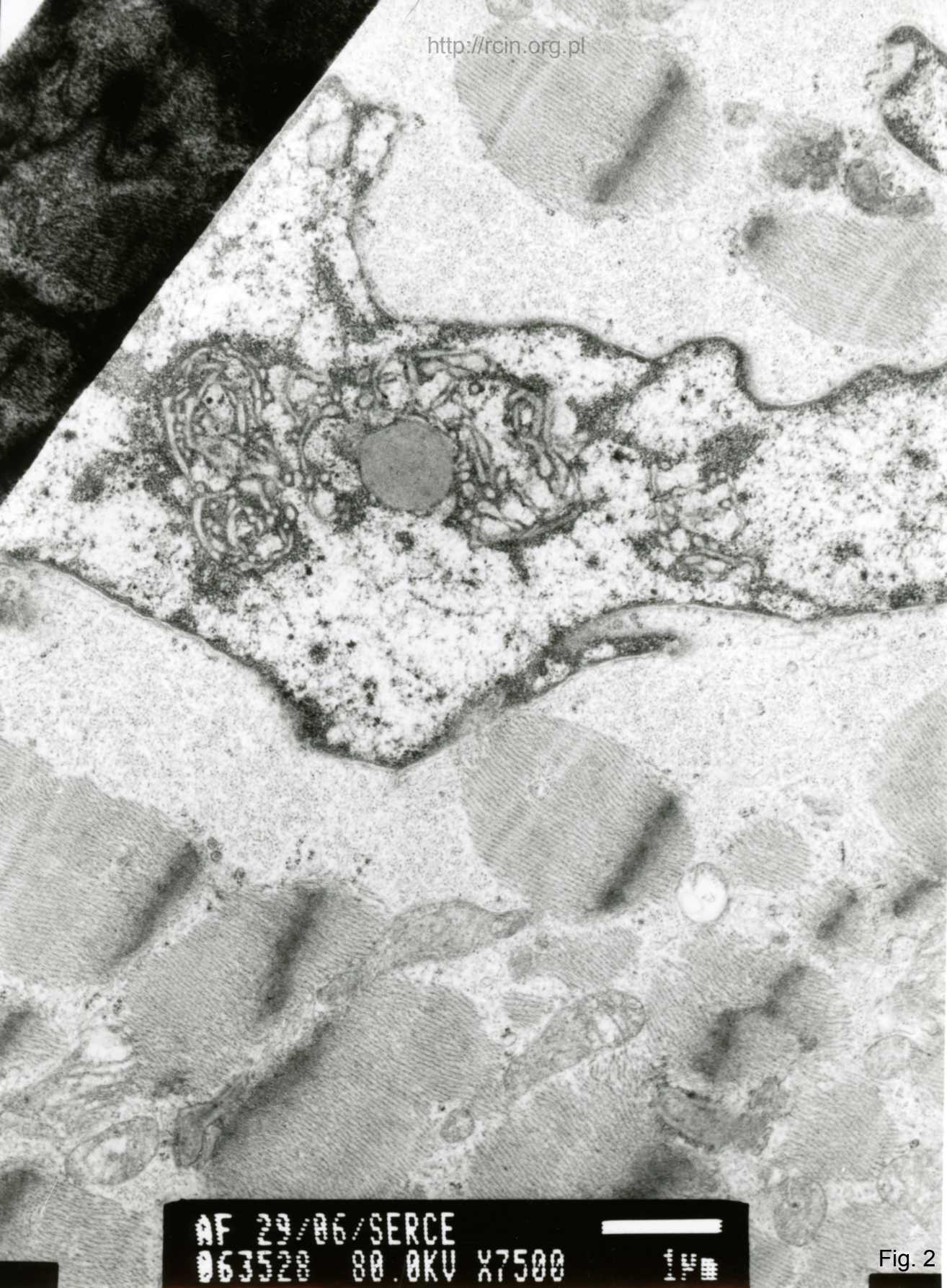


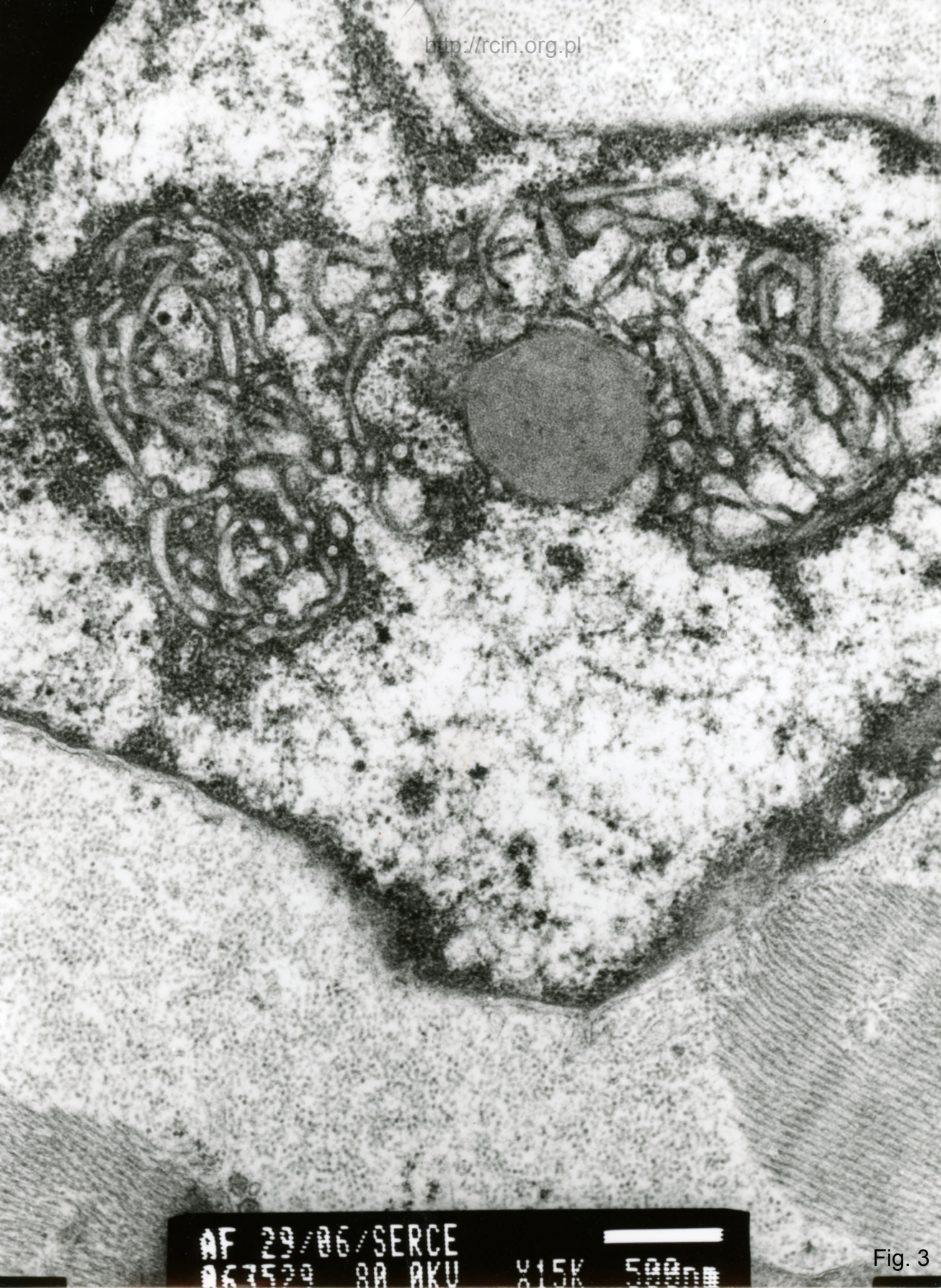
AF 29/06/SERCE
063570 00 0K11 47000

Fig. 1



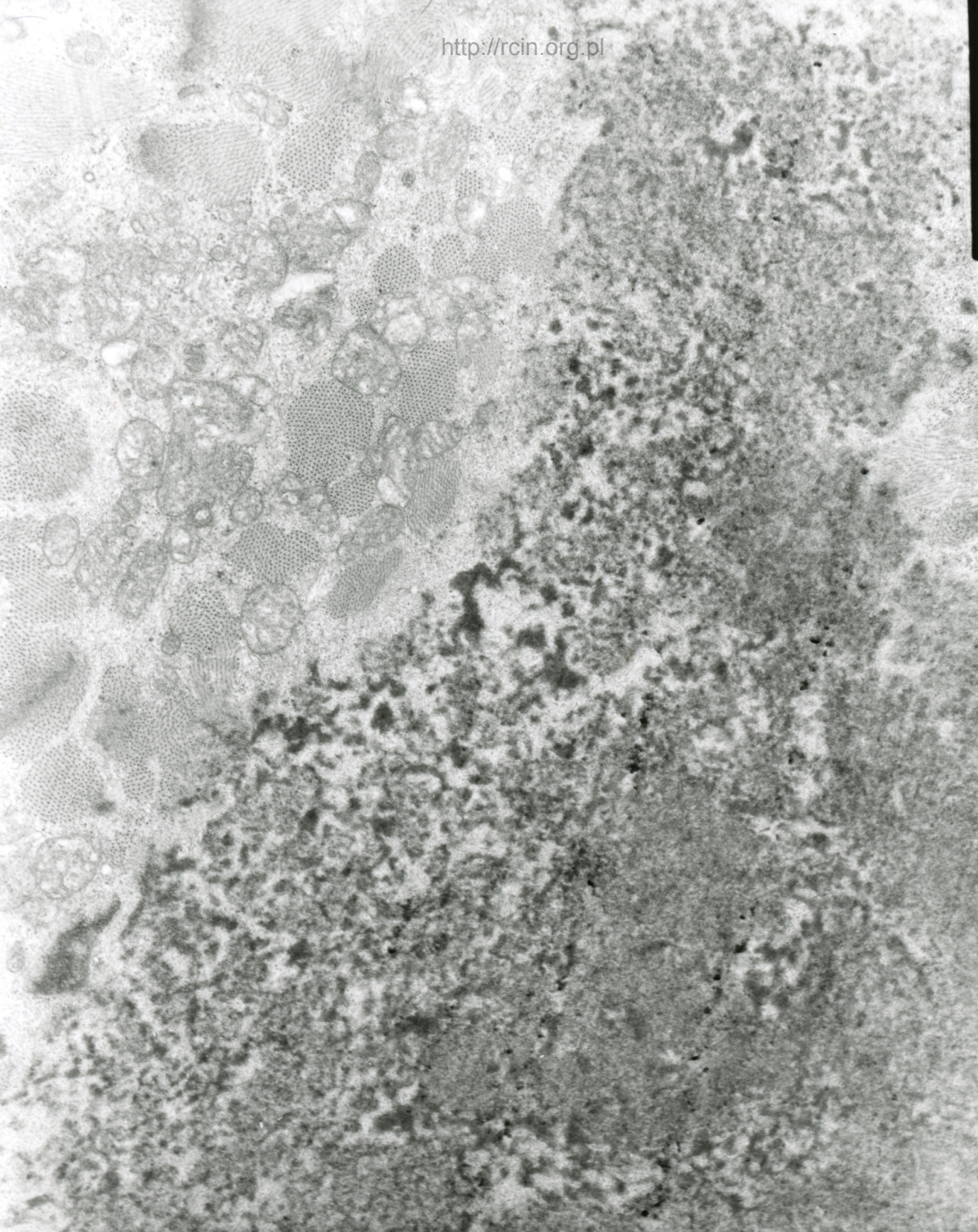
AF 29/06/SERCE
063528 80.0KV X7500 14

Fig. 2



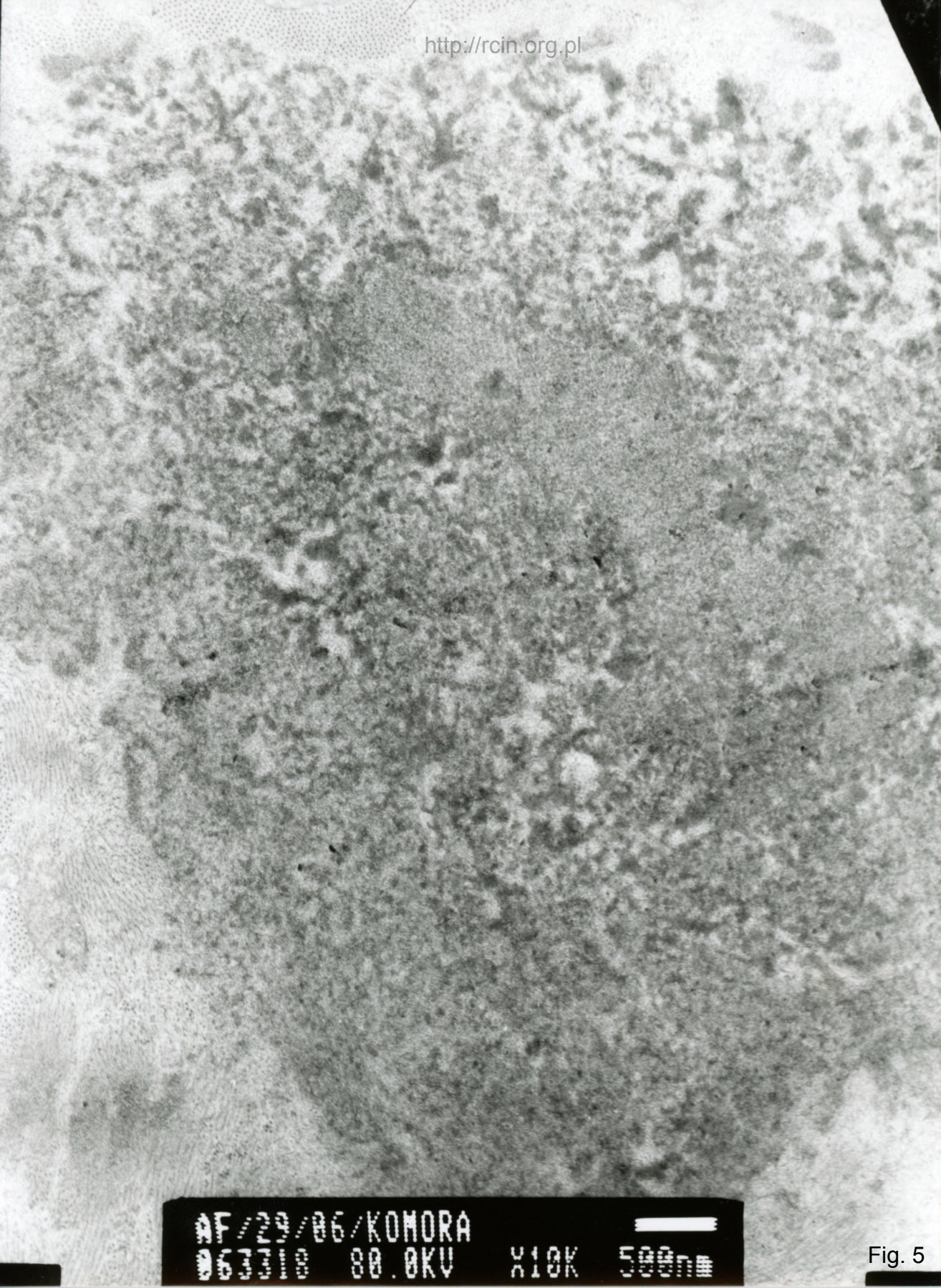
AF 29/06/SERCE
063529 80 AKU 015K 500nm

Fig. 3



AF/29/86/KOMORA
063317 80.0KV X7500 1µm

Fig. 4



AF/29/06/KOMORA
063318 80.0KV X10K 500nm

Fig. 5

29/06 komora eksplantowanego serca (patrz też 28/06)

Ocena ultrastrukturalna wykazała zaburzenia w układzie sarkomerów i w przebiegu miofibryli, a miejscowo, zwłaszcza w okolicy jąder kardiomiocytów, ich znaczną dezorganizację i zanik. Obserwowano cechy nukleopatii m.in. liczne wgłobienia, a także ubytki w błonie jądrowej, co wiązało się z penetracją organelli komórkowych do wnętrza jąder (Fig.1-3). W biopsji stwierdzono obecność granularno-włókienkowego materiału charakterystycznego dla desminopatii (Fig. 4,5).

Explanted ventricle

The ultrastructural analysis revealed sarcomere aberrations, changes in the myofibrils' arrangement and locally their significant disorganization and atrophy, especially in the vicinity of cardiomyocyte nuclei. Features of nucleopathy were observed, including numerous intussusceptions, as well as breaks in the nuclear membrane. Penetration of cell organelles into the nuclei was noticed (Figs.1-3). Granulofilamentous material characteristic for desminopathy was seen (Figs. 4,5).